

полюсами магнитов. Было проведено сравнение величины магнитного поля, полученной при моделировании, с результатом, полученным ранее при измерениях. В дальнейшем планируется провести учёт ошибок при установке вигглера на тракте ускорителя, и анализ их влияния на характеристики магнитного поля вдоль траектории движения пучка. Например, это может быть не центральный пролёт пучка в вигглере или наличие угла между осью вигглера и траекторией пучка. Данные о магнитном поле во всём объёме зазора вигглера позволят провести детальный расчёт и оптимизацию характеристик ОИ, задавая произвольные значения магнитного поля, например, с помощью кода [4].

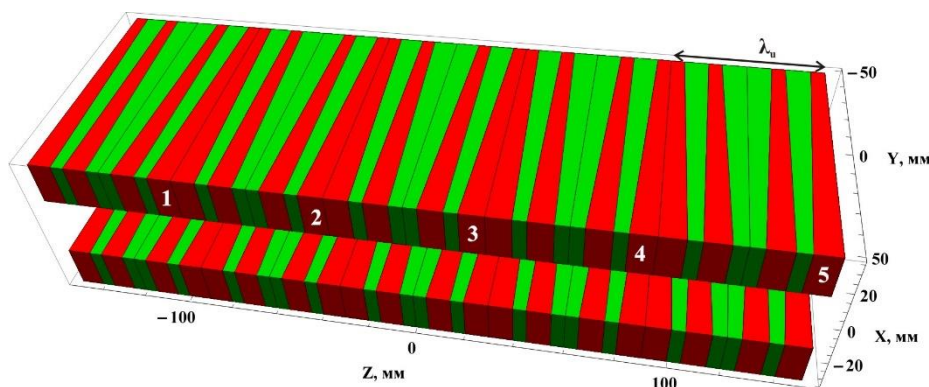


Рисунок 1. 3D модель вигглера

СПИСОК ЛИТЕРАТУРЫ

1. Kashiwagi S., et al. Rigorous evaluation of the edge-focusing wiggler based on the magnetic field measurement // PRST AB. – 2009. – V.12. – P. 120703.
2. Chubar O., et al. A 3D magnetostatics computer code for insertion devices // J. Synchrotron Rad. – 1998. – V.5. – P. 481–484.
3. Bødker F. In-vacuum and FEL undulators at DANFYSIK A/S // Proc. of EPAC. – 2006. – P. 3553–3555.
4. Tanaka T., et al. SPECTRA - a synchrotron radiation calculation code // J. Synchrotron Rad. – 2001. – V.8. – P. 1221.

БОЛЬШИЕ ЧИСЛА П. ДИРАКА И АЛЬТЕРНАТИВНЫЙ АНАЛИЗ

А.М.Сухотин

Национальный исследовательский Томский политехнический университет

Россия, г.Томск, просп. Ленина, 30, 634050

E-mail: asukhotin@yandex.ru

О больших числах П. Дирака. В условиях кризиса построения общей теории поля П. Дирак высказал [1] гипотезу об инвариантности некоторых безразмерных функций абсолютных физических констант, названных позднее Большими числами Дирака $d_i \in \{GND\}$. Для многих GND построены адекватные модели. Вот примеры некоторых Больших чисел Дирака: d_1 – отношение радиуса Вселенной к радиусу электрона $\sim 4,4 \cdot 10^{40}$, d_2 – отношение массы Вселенной к массе электрона $\sim 4,3 \cdot 10^{41}$, d_3 – отношение кулоновской силы к силе тяготения $\sim 4,2 \cdot 10^{42}$, d_4 – отношение радиуса Вселенной к длине Планка $\sim 0,7 \cdot 10^{61}$, $d_5 \triangleq GTk$, где G – гравитационная постоянная, T – возраст Вселенной, $[k] = [GT]^{-1}$ [2, Гл. 11]. Э. Теллер допускал [3] изменчивость некоторых GND . Так если в d_5 k считать константой, тогда гравитационная постоянная G будет убывающей функцией времени (возраста Вселенной). Уоррен Кэри (S.Warren Carry) более полувека (1935–1991 г.г.) изучал закономерности развития Земли и описал [2] борьбу догм в истории Земли, начав от первобытных представлений человека о Земле и Мире и закончив состоянием этой борьбы в конце XX века. Например, для

объяснения дрейфа Материков он пришёл к согласию с гипотезой увеличения объёма Земли. Из двух наиболее вероятных гипотез увеличения объёма Земли: 1) за счёт увеличения массы и 2) из-за уменьшения гравитационной постоянной G , У. Кэри выбирает, следуя П. Дираку, вторую. При этом изменение за год гравитационной постоянной G по разным источникам оценивается как $\Delta G \sim -10^{-10} G$ [2, Гл. 11].

Альтернативный анализ. Мы ввели [4] новые понятия и пересмотрели ряд устаревших догм. Это позволило доказать, в частности: 1) существование подмножества неограниченных конечным числом последовательностей Коши, каждая из которых сходится к соответствующему бесконечно большому числу (ББЧ). 2) Теореме А. Неограниченная дифференцируемая в ∞ функция $f: R \rightarrow R$ сходится к соответствующему ББЧ $\cong \Omega(f)$ тогда и только тогда, когда $f'(\infty) = 0$. 3) Если для некоторого $d_k \in \{GND\}$ существует модель $d_k(x) = f(x)$, тогда Теорема А даёт критерий того, что $\lim_{x \rightarrow \infty} f(x) \in \Omega(f)$. 4) Существует Ω_π , определяющее количество всех простых чисел p .

СПИСОК ЛИТЕРАТУРЫ

1. P.A.M. Dirac. The Cosmological Constants. Nature, 1937, vol. 139, p. 323.
2. Кэри У. В поисках закономерностей развития Земли и Вселенной: История догм в науках о Земле: Пер. с англ.—М.: Мир, 1991—447 с.
3. E. Teller. On the change of physical constants. Physical Review, 1948, vol. 73 pp. 801-802.
4. Sukhotin A.M. Alternative analysis: the new results and some problems//Abstracts of the International Congress of Mathematics, August 13–21, 2014, Seoul, Korea. p. 268

МОДЕЛИРОВАНИЕ СПЕКТРА МОЩНОСТИ СТАЦИОНАРНОГО СЛУЧАЙНОГО ПРОЦЕССА В ВИДЕ СПЛАЙНА ПЕРВОГО ПОРЯДКА ПРИ СЛУЧАЙНОМ ЧИСЛЕ ДАННЫХ В МОМЕНТАХ ИЗМЕРЕНИЙ

И.Г. Устинова, Е.И. Подберезина

Национальный исследовательский Томский политехнический университет,
Россия, г. Томск, пр. Ленина, 30, 634050

E-mail: igu@sibmail.com

Спектр мощности также как и функция корреляции является одной из важнейших характеристик второго порядка случайного процесса [1]. При решении задачи моделирования спектра мощности случайного процесса необходимо выбрать математическую модель, которая бы адекватно описывала спектр мощности, а также задание схемы измерений процесса. Рассмотрим задачу оценки спектра мощности стационарного случайного процесса в виде сплайна первого порядка, когда в каждый момент времени производится случайное число измерений. Аналогичная задача рассматривается в работе [2], однако, в ней используется другой подход к получению сплайна, а именно, подход, в котором сначала ищется оценка функции корреляции, а затем уже, находится оценка спектра мощности, причем коэффициенты сплайна оцениваются все сразу.

Пусть значения процесса $y(t)$ измеряются на отрезке времени $[0; T]$. Нам известна последовательность значений y_1, y_2, \dots, y_N , где $y_i = \frac{y_{i1} + y_{i2} + \dots + y_{in_i}}{n_i}$. Здесь n_i – случайные величины, распределенные по закону

Пуассона с параметром λ . Моменты измерений t_i , $i = \overline{1, N}$ известны точно. Будем полагать, что $y_i = y(t_i) + \xi_i$, где ξ_i – независимые случайные величины, причем, $M[\xi_i] = 0$, $D[\xi_i] = \sigma^2$, $M[y(t_i)] = 0$, $M[y(t_j)y(t_i)] = R[t_j - t_i]$.